

RÉSUMÉ

En poursuivant l'étude pharmacologique du groupement N-alkylaminoacylamino: $\text{NHCO}(\text{CH}_2)_x\text{NR}'\text{R}''$, les auteurs décrivent la synthèse de quelques anilides dérivés de l'acide p-aminosalicylique de formule générale III, sous forme de chlorhydrates et iodométhylates.

ΒΙΒΛΙΟΓΡΑΦΙΑ

1. A. EINHORN, M. OPPENHEIMER, Ann. Chem. 1900, 311, 154.
2. E. EPSTEIN, D. KAMINSKY, J. amer. chem. Soc., 1957, 79, 5814.
3. E. EPSTEIN, D. KAMINSKY, J. amer. pharm. Assoc., 1959, 48, 150.
4. W. KEIL, H. H. BRÄUMTIGAM, W. HOLLER, Arzneimittel-Forsch., 1952, 2, 112.
5. G. TSATAS, Mine B. GUIOCA - DEDOPOULOU, Bull. Soc. chim., 1961, 290.
6. E. PROFFT, A. JUMAR, Arch. der Pharmaz., 1956, 289, 90.
7. D. J. DRAIN, D. D. MARTIN, B. W. MITCHELL, D. E. SEYMOUR, F. S. SPRING, J. chem. Soc., 1949, 1948.

ΣΙΔΗΡΟΔΡΟΜΙΚΗ. — Ό προεντεταμένος ἀρμόδιος τῶν σιδηροτροχιῶν, ὑπὸ *Nik. - Iωάνν. Γ. Κορωναίου**. Ἀνεκοινώθη ὑπὸ τοῦ κ. Ἰωάνν. Τρικκαλινοῦ.

Α'. ΓΕΝΙΚΑ

Μὲ τὴν κατασκευὴν τοῦ προεντεταμένου ἀρμοῦ τῶν σιδηροτροχιῶν (σχ. 1) ἔξειλίχθη ἡ δυναμικὴ σύνδεσις τῶν σιδηροτροχιῶν μεταξύ των εἰς τρόπον, ὥστε νὰ πληγιάζῃ αὕτη τὴν διὰ συγκολλήσεως τοιαύτην.

Πολλαὶ μορφαὶ ἐλατηρίων (ἐλικοειδῶν ἢ ἐπιπέδων) καὶ διαμορφώσεως τοῦ ἀρμοῦ ἔχουν χρησιμοποιηθῆ μέχρι τοῦδε, μία τῶν τελευταίων εἶναι ἡ διαμόρφωσις τοῦ σχ. 1.

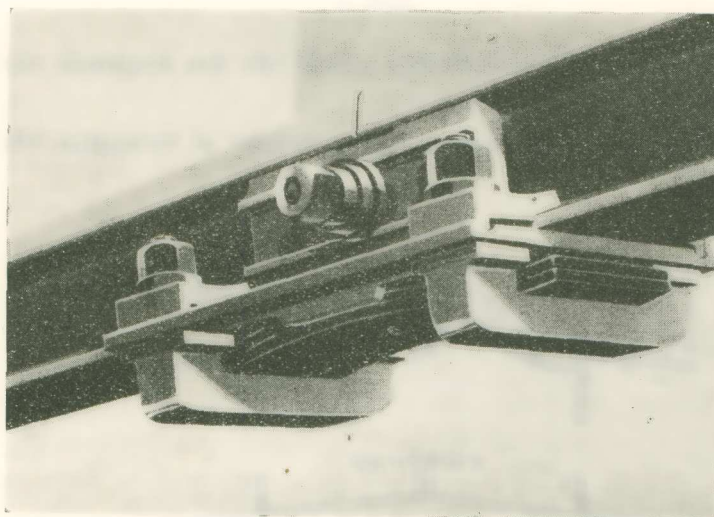
Τὸ βασικὸν γνώρισμα τῆς συνδέσεως ταύτης εἶναι ἐν ἐπίπεδον ἐλατήριον τὸ δύοϊον προεντείνεται κατὰ μῆκος τῆς σιδηροτροχιᾶς ὑπὸ τὸ πέλμα της εἰς τὴν θέσιν τοῦ ἀρμοῦ. Τὸ ὅλον σύστημα διὰ κοχλιῶν καὶ ἀναβολέων συνδέεται μὲ τὴν σιδηροτροχιάν. Διὰ τοῦ ἐλατηρίου τούτου παρεμποδίζεται ἡ δημιουργία ὑψομετρικῆς διαφορᾶς μεταξὺ τῆς ἐπιφανείας κυλίσεως τῶν δύο σιδηροτροχιῶν, ὡς καὶ ἡ δημιουργία γόνατος παρὰ τὴν θέσιν τοῦ ἀρμοῦ. Διὰ τὴν καλυτέραν σύνδεσιν τῶν σιδηροτροχιῶν χρησιμοποιεῖται ἐπίπεδον ἐλασμα στερεούμενον δι' ἐνὸς μόνον χαλυβδίνου κοχλίου μετὰ τῶν δύο σιδηροτροχιῶν, οὗτω δὲ ἀποφεύγεται ἡ διάνοιξις ὁπῶν εἰς τὸν κορμὸν τῆς σιδηροτροχιᾶς καὶ ἀφαιροῦνται μόνον δύο ἡμικυκλικὰ τμήματα ἀπὸ τὸν κορμὸν ταύτης εἰς τὰ ἄκρα της. Διὰ τοῦ κοχλίου τούτου δημιουργεῖται μία ἕρθρωσις εἰς τὴν θέσιν τοῦ ἀρμοῦ, οὗτω δὲ δὲν δικτύοπτονται αἱ κυματοειδεῖς κινήσεις τῆς σιδηροδρο-

* NIK. - JOH. G. KÖRONEOS, Der Vorgespannte Schienenstoss.

μικῆς γραμμῆς. Τὸ ἐλατήριον δύναται νὰ ὀλισθαίη ἐπὶ τῶν μέσων στηρίζεως μὲ
ἀποτέλεσμα, ὥστε αἱ κατὰ μῆκος κινήσεις τῶν σιδηροτροχιῶν οὐδεμίαν ἐπίδρασιν νὰ
ἔχουν ἐπὶ τοῦ ἐλατηρίου.

**Β'. ΜΕΛΕΤΗ ΤΗΣ ΣΧΕΣΕΩΣ ΜΕΤΑΞΥ ΜΕΓΕΘΟΥΣ ΠΡΟΕΝΤΑΣΕΩΣ,
ΣΤΑΘΕΡΑΣ ΕΛΑΤΗΡΙΟΥ ΚΑΙ ΕΞΩΤΕΡΙΚΗΣ ΦΟΡΤΙΣΕΩΣ**

Εἰς τὸν ὅλον ὑπολογισμὸν τῆς σχέσεως μεταξὺ τοῦ μεγέθους τῆς προεντάσεως,



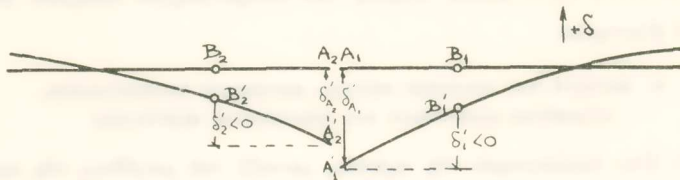
Σχεδ. ἀρ. 1.

τῆς σταθερᾶς τοῦ ἐλατηρίου καὶ τῶν ἔξωτερικῶν φορτίων δὲν ἐλήφθη ὑπ' ὄψιν ἢ εὐ-
μενῆς ἐπίδρασις τῆς ἀρθρώσεως καὶ τοῦ πλαγίου ἐλάσματος. Ἡ ευμενῆς αὕτη ἐπί-
δρασις εἶναι δυνατὸν νὰ εὑρεθῇ μόνον πειραματικῶς, διότι αἱ θεωρητικαὶ ἔρευναι οὐ-
δέν ίκανοποιητικὸν ἀποτέλεσμα δίδουν λόγω τῆς πολὺ μικρᾶς τάξεως τοῦ μεγέθους
τῶν παραμορφώσεων. Κατὰ τὴν πειραματικὴν ἔρευναν τῆς συνδέσεως θὰ ληφθοῦν τὰ
ἀνωτέρω ὑπ' ὄψιν.

Θεωροῦμεν κατ' ἀρχὰς τὰς σιδηροτροχιὰς ἐλευθέρας, οὐχὶ δὲ συνδεδεμένας με-
ταξύ των ὑπὸ τὴν ἐπίδρασιν τῶν ἔξωτερικῶν φορτίων. Ἐστωσαν A_1, A_2 τὰ ἀκρα τῶν
ἐκατέρωθεν σιδηροτροχιῶν καὶ B_1, B_2 αἱ θέσεις προεντάσεως τοῦ ἐλατηρίου. Μετὰ
τὸν προσδιορισμὸν τῶν γραμμῶν ἐπιρροῆς τῶν ὑποχωρήσεων τῶν σημείων A_1, A_2, B_1, B_2
εἶναι δυνατὸν νὰ ὑπολογισθοῦν διὰ διαφόρους θέσεις τῶν συρμῶν αἱ δυσμενέ-
στεραι ἐλαστικαὶ γραμμαὶ δύο ἐκατέρωθεν κειμένων σιδηροτροχιῶν (Σχ. 2).

Κατὰ τὴν διέλευσιν τῶν συρμῶν, λόγῳ τῆς μὴ συμμετρικῆς φορτίσεως τῶν σι-

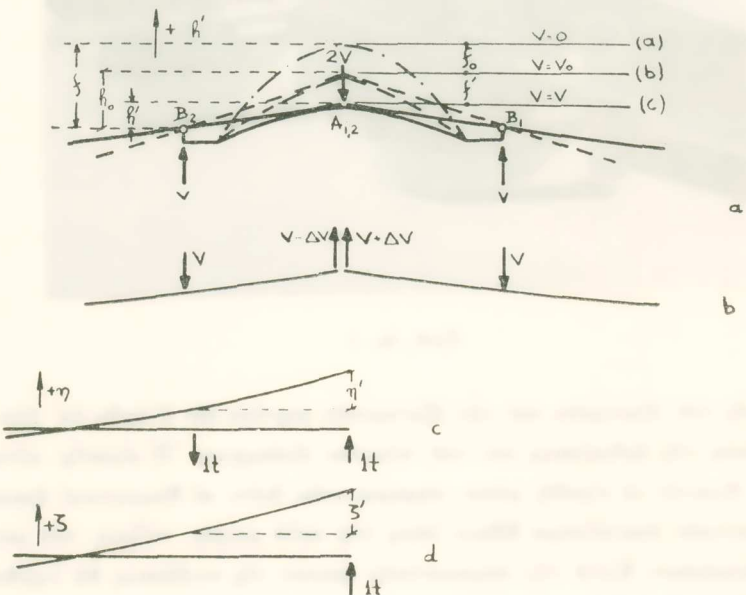
δηροτροχιῶν, τὰ σημεῖα A_1, A_2 ὑποχωροῦν κατὰ $\delta'_{A1}, \delta'_{A2}$, οὕτω δὲ δημιουργεῖται εἰς



Σχεδ. 2.

τὴν θέσιν τοῦ ἀρμοῦ ὑψομετρική διαφορὰ μεταξὺ τῶν ἄνω ἐπιφανειῶν τῶν κεφαλῶν τῶν σιδηροτροχιῶν ἵση μὲν $\delta'_{A1} - \delta'_{A2}$.

Διὰ τὴν ἐπίλυσιν τοῦ θέματος ἔχουν σημασίαν αἱ τεταγμέναι τῶν σημείων A_1, A_2, B_1, B_2 .



Σχεδ. 3.

Θεωροῦμεν τώρα τὴν ἐπιδρασιν ἐνὸς προεντεταμένου ἐλατηρίου παρὰ τὸν ἄρμον. Τὸ ἐλατήριον εἶναι προεντεταμένον διὰ δυνάμεως V_0 , ἥτις ἐκλέγεται τοιούτου μεγέθους, ὥστε εἰς τὴν δυσμενεστέραν περίπτωσιν ἡ διαφορὰ $\delta'_{A1} - \delta'_{A2} = 0$, οὐδεμίᾳ δὲ ὑψομετρική διαφορὰ νὰ δημιουργῆται μεταξὺ τῶν ἄνω ἐπιφανειῶν τῶν κεφαλῶν τῶν ἐκατέρωθεν σιδηροτροχιῶν.

Ἐν τῷ σχήματι (3α) παρίστανται αἱ κάτωθι τρεῖς καταστάσεις τοῦ ἐλατηρίου:

Κατάστασις (α): 'Ελατήριον ἐλεύθερον, $V=0$

» (b): » προεντεταμένον διὰ δυνάμεων $V=V_0$

» (c): 'Επιδρασις καὶ τῶν ἔξωτερικῶν φορτίων ($V > 0$ θλιψις).

'Εὰν c ἡ σταθερὰ τοῦ ἐλατηρίου, τότε $V_0=c f_0$ καὶ $V=c (f_0 + f')$ ἢ $V=V_0 + c f'$ καὶ ἐπειδὴ $f'=h_0 - h'$, ἔχομεν τὴν σχέσιν

$$V = V_0 + c (h_0 - h') \quad (1)$$

ἔνθα f_0, f', f, h_0 καὶ h' ἐμφαίνονται εἰς τὸ Σχεδ. 3.

Κατὰ τὴν κατάστασιν (c) ἡ ἀσύμμετρος φόρτισις τῶν σιδηροτροχιῶν δίδει τὰς ἐν τῷ σχήματι (3b) διαβιβαζομένας δυνάμεις. Εἰς τὰ σχήματα (3c), (3d) παρίσταται ἡ ἐλαστικὴ γραμμὴ τῆς σιδηροτροχιᾶς ὑπὸ τὰς σημειουμένας φορτίσεις 1t. Δι' ἐπαλληλίας τῶν τεταγμένων τῆς ἐν τῷ σχήματι (3c) ἐλαστικῆς γραμμῆς πολλαπλασιασθεισῶν ἐπὶ V καὶ τῶν τῆς ἐν τῷ σχήματι (3d) ἐλαστικῆς γραμμῆς πολλαπλασιασθεισῶν ἐπὶ ΔV , εὑρίσκεται ἡ ἐλαστικὴ γραμμὴ τῶν σιδηροτροχιῶν τῆς εἰς τὸ σχῆμα. (3b) εἰκονιζομένης φορτίσεως.

Διὰ νὰ μὴ δημιουργῆται ὑψομετρικὴ τις διαφορὰ μεταξὺ τῶν ἄνω ἐπιφανειῶν τῶν κεφαλῶν τῶν σιδηροτροχιῶν, ὡς καὶ κατὰ τὴν φόρτισιν τούτων οὐδὲν γόνυ παρὰ τὴν θέσιν τοῦ ἀρμοῦ, πρέπει νὰ πληροῦται ἡ σχέσις $V - \Delta V \geq 0$, ὅπότε ἀμφότεραι αἱ σιδηροτροχιαι ἐφάπτονται τοῦ ἐλατηρίου.

Αἱ τελικαὶ διαφοραὶ h' προκύπτουν εἰς τὰς ἔξισώσεις (2), (3) δι' ἐπαλληλίας τῶν παραμορφώσεων τῶν παρισταμένων εἰς τὰ Σχεδ. (2), (3c), (3d).

$$h' = \delta_2' + V\eta' - \Delta V \zeta' \quad (2)$$

$$h' = \delta_1' + V\eta' + \Delta V \zeta' \quad (3)$$

ὅπου η καὶ ζ είναι αἱ τεταγμέναι τῶν ἐλαστικῶν γραμμῶν διὰ τὰς ἐν τοῖς σχήμασι 3c, 3d μοναδιαίας φορτίσεις.

Τὰ μεγέθη $V, \Delta V$ ὑπολογίζονται δι' ἔξισώσεως τῶν τεταγμένων τῶν σημείων A_1, A_2 καὶ τῆς βοηθείας τῆς ἔξισώσεως (1).

'Εκ τῶν (2) καὶ (3) δι' ἔξισώσεως τῶν δευτέρων μελῶν των προκύπτει

$$\Delta V = \frac{1}{2} \cdot \frac{\delta_2' - \delta_1'}{\zeta'} \quad (4)$$

'Εὰν δὲ $z_2 = \frac{1}{2} (\delta_2' - \delta_1') > 0$ καὶ $z_1 = \frac{1}{2} (\delta_2' + \delta_1') < 0$, τότε ἡ (4) λαμβάνει τὴν μορφήν:

$$\Delta V = \frac{z_2}{\zeta'} \quad (4\alpha)$$

'Αντικαθιστῶντες ἐκ τῆς (4) τὸ μέγεθος ΔV ζ' εἰς τὴν (2) λαμβάνομεν τὴν κάτωθι σχέσιν:

$$h' = \delta_2' + V\eta' - \frac{1}{2} (\delta_2' - \delta_1') = V\eta' + \frac{\delta_1' + \delta_2'}{2}$$

$$\text{ἢ } h' = V\eta' + z_1 \quad (5)$$

Δι' ἀντικαταστάσεως εἰς αὐτὴν τοῦ μεγέθους V ἐκ τῆς (1) προκύπτει ἡ σχέσις:

$$h' = V_{\circ}\eta' + c h_{\circ}\eta' - c h'\eta' + \frac{\delta_1' + \delta_2'}{2} \quad (5\alpha)$$

Δι' ἐφαρμογῆς τῆς ἔξισώσεως (2) εἰς τὴν κατάστασιν (b) δτε $V=V_o$, $\delta_2'=0$ καὶ $\Delta V=0$ λαμβάνομεν:

$$h_{\circ} = V_{\circ}\eta' \quad (6)$$

καὶ ἐκ τῆς (5α)

$$\begin{aligned} h' + c h'\eta' &= h_{\circ} + c h_{\circ}\eta' + z_1 \\ \text{ἢ } h'(1 + c\eta') &= h_{\circ}(1 + c\eta') + z_1 \\ \text{ἢ } h' &= h_{\circ} + \frac{z_1}{1 + c\eta'} \\ \text{ἢ } h' &= V_{\circ}\eta' + \frac{z_1}{1 + c\eta'} \end{aligned} \quad (7)$$

Ἐκ τῶν (7) καὶ (1) προκύπτει ἡ σχέσις:

$$V = V_o - \frac{z_1 c}{1 + c\eta'} \quad (8)$$

Ἡ συνθήκη ἵνα καὶ ἡ ἀριστερὰ σιδηροτροχιὰ ἐφάπτηται τοῦ ἐλατηρίου εἶναι $V - \Delta V \geq 0$. Κατὰ τὴν περίπτωσιν ταύτην, ὡς καὶ ἀνωτέρω ἐλέχθη, οὔδεμία ὑψομετρικὴ διαφορὰ δημιουργεῖται μεταξὺ τῶν ἀνω ἐπιφανειῶν τῶν κεφαλῶν τῶν σιδηροτροχιῶν, καὶ κατὰ τὴν φόρτισιν τούτων οὐδὲν γόνυ παρὰ τὴν θέσιν τοῦ ἀρμοῦ.

Ἀντικαθιστῶντες τὰ μεγέθη V , ΔV ἐκ τῶν (4α) καὶ (8) εἰς τὴν $V - \Delta V \geq 0$ λαμβάνομεν

$$V_o \geq \left(\frac{z_1 c}{1 + c\eta'} + \frac{z_2}{\xi'} \right) \quad (9)$$

Ἐκ δὲ τῆς (7α):

$$\begin{aligned} h' &= z_1 \frac{c\eta'}{1 + c\eta'} + z_2 \frac{\eta'}{\xi'} + \frac{z_1}{1 + c\eta'} \\ \text{ἢ } h' &= z_2 \frac{\eta'}{\xi'} + z_1 \end{aligned} \quad (10)$$

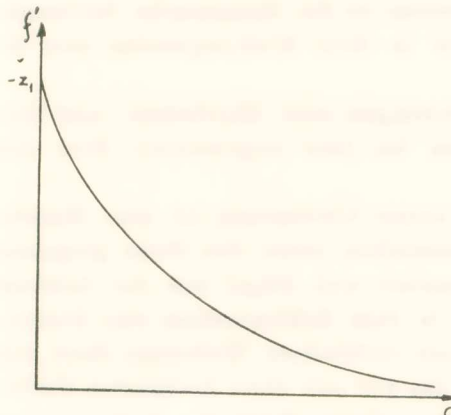
Ἐκ τῆς σχέσεως (10) συνάγεται ὅτι, ἐὰν τὸ ἐλατήριον προενταθῇ μὲν δύναμιν V_o , ὡστε τὰ ἀκρα τῶν σιδηροτροχιῶν νὸν ἐφάπτωνται πάντοτε τοῦ ἐλατηρίου, ἡ ποστής τότε h' , ἥτοι ἡ διαφορὰ τῆς ὑψομετρικῆς θέσεως μεταξὺ ἀκρου σιδηροτροχιᾶς καὶ θέσεως τῆς προεντάσεως, εἶναι ἀνεξάρτητος τῆς σταθερᾶς τοῦ ἐλατηρίου.

Γ'. ΓΡΑΦΙΚΗ ΠΑΡΑΣΤΑΣΙΣ ΤΩΝ ΕΥΡΕΘΕΙΣΩΝ ΣΥΝΑΡΤΗΣΕΩΝ

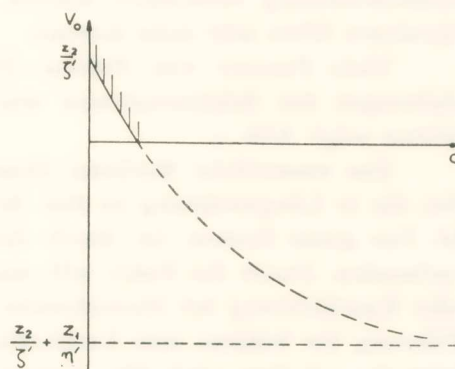
Αἱ ἀνωτέρω εὑρεθεῖσαι συναρτήσεις δύνανται νὰ παρασταθοῦν γραφικῶς, προκυπτούσης οὕτω σαφεστέρας εἰκόνος ἐπὶ τῆς σχέσεως μεταξὺ τῶν διαφόρων μεγεθῶν.

Κυριώτεραι τῶν συναρτήσεων τούτων εἶναι αἱ συνδέουσαι τὴν σταθερὰν τοῦ

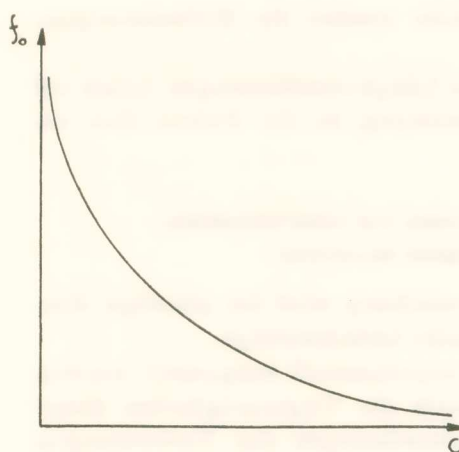
έλατηρίου καὶ τὸ μεγέθη f' , V_o , f_o , f . Κατωτέρω δίδονται αὗται μετὰ τῆς γραφικῆς των παραστάσεως.



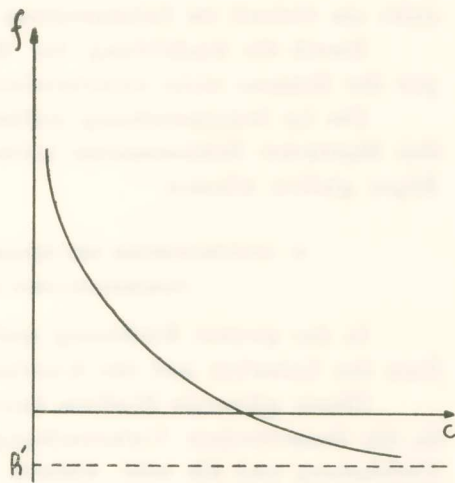
Σχεδ. 4.



Σχεδ. 5.



Σχεδ. 6.



Σχεδ. 7.

$$1) \quad f' = h_o - h' = \frac{-z_1}{1 + c\eta'} \quad (\text{σχ. 4}) \quad (\text{ύπερβολή})$$

$$2) \quad V_o \geq \left(\frac{z_2}{z'} + \frac{z_1 c}{1 + c\eta'} \right) \quad (\text{σχ. 5}) \quad (\text{ύπερβολή})$$

Ἡ διαγραμμισμένη περιοχὴ δίδει τὰς λύσεις τῆς ὡς ἀνω σχέσεως.

$$3) \quad f_o = \frac{V_o}{c} \quad (\text{σχ. 6}) \quad (\text{ύπερβολή})$$

$$4) \quad f = V_o \left(\frac{1}{c} + \eta' \right) \quad (\text{σχ. 7}) \quad (\text{ύπερβολή})$$

Z U S A M M E N F A S S U N G

A. ALLGEMEINES

Mit dem vorgespannten Schienenstoss ist die dynamische Schienenstossverbindung entwickelt worden, die in ihrer Wirkungsweise dem lückenlosen Gleis sehr nahe kommt.

Viele Formen von Federn - Federringen oder Blattfedern - und Gestaltungen des Schienenstosses wurden bis jetzt angewendet. Eine der letzten zeigt Abb. 1.

Das wesentliche Merkmal dieser neuen Verbindung ist eine Blattfeder, die in Längsrichtung an den Schienenfuss unter den Stoss gespannt ist. Das ganze System ist durch Schrauben und Bügel mit der Schiene verbunden. Durch die Feder will man in dem Schienenstoss eine Stufen- oder Knickbildung bei überrollender Last verhindern. Weiterhin dient zur Führung der Schiene eine Kurzlasche, die nur mit einer hochfesten Stahlschraube gehalten wird. Die Verwendung dieser Schraube bedingt aber weder ein Lochen oder Bohren der Schienen, sondern nur halbkreisförmige Ausnehmungen an den beiden Schienenenden. Durch diese Schraube entsteht ein Gelenk im Schienenstoss.

Durch die Ausbildung der Kurzlasche werden die Wellenbewegungen der Schiene nicht unterbrochen.

Die im Schienenstrang auftretenden Längsverschiebungen haben auf den Blattfeder- Schienenstoss keine Einwirkung, da die Federn über die Bügel gleiten können.

B- UNTERSUCHUNG DES ZUSAMMENHANES VON VORSPANNGRÖSSE,

FEDERKONSTANTE UND ÄUSSERE BELASTUNG

In der ganzen Rechnung und Untersuchung wird der günstige Einfluss des Gelenkes und der Kurzlasche nicht berücksichtigt.

Dieser günstige Einfluss kann nur experimentell festgestellt werden, da die theoretischen Untersuchungen durch die Ungenauigkeiten dieser Verbindung und die sehr kleinen Größenordnungen der Verformungen kein befriedigendes Ergebnis liefern.

In der experimentellen Untersuchung dieser Verbindung wird auch die Lasche berücksichtigt.

Wir betrachten zuerst den Einfluss der äusseren Kräfte auf die Schiene; die Schienenenden sind frei beweglich (ohne Feder und Lasche). A_1 und A_2 sind die Enden der zu stossenden Schienen und B_1 , B_2 die Stellen der Vorspannung der Feder. Nach Bestimmung der Einflusslinien der Einsenkungen der Punkte A_1 , A_2 , B_1 , B_2 , ist es möglich, die Rechnung der ungünstigsten Biegelinie von zwei gegeneinander liegenden Schienen für verschiedene Stellungen des Zuges zu erhalten (Abb. 2).

Bei überfahrender Stossstelle wegen asymmetrischer Belastung durch den Zug erhält man die Einsenkungen δ'_{A_1} und δ'_{A_2} an die Schienenenden. Es ergibt sich eine Stufe von der Grösse $\delta'_{A_1} - \delta'_{A_2}$ = Differenz der Einsenkungen (Abb. 2). Es sind nur die Ordinaten der Biegelinie an den Punkten A_1 , A_2 , B_1 , B_2 von Bedeutung für die Lösung des Problems.

Wir betrachten jetzt den Einfluss einer vorgespannten Feder am Schienenstoss. Die Feder ist vorgespannt mit einer Kraft V_0 , die so gross gewählt werden muss, dass selbst im ungünstigsten Belastungsfall die Differenz $\delta'_{A_1} - \delta'_{A_2} = 0$ bleibt und so keine Stufenbildung eintritt.

In Abb. 3a sind die drei verschiedene Fälle der Feder dargestellt.

Fall (a): Freie Feder, $V=0$.

Fall (b): Vorgespannte Feder mit $V=V_0$.

Fall (c): Einfluss der äusseren Belastung [$V > 0$, Druck].

Im Falle c gibt die asymmetrische Belastung der Schiene die in Abb. 3b gezeigte Ersetzung der Vorspannung.

In Abb. 3c, 3d sehen wir den Verlauf der Biegelinie unter den Belastungen von je 1t.

Wenn beide Schienen tangential an die Feder anschliessen sollen, muss $V - \Delta V \geq 0$ sein. In diesem Falle haben wir weder Stufenbildung noch bei Belastung eine Knickbildung.

Die charakteristischen Formeln, welche die verschiedenen Grössen miteinander verbinden sind:

$$(c = \text{Federkonstante}, z_2 = \frac{1}{2} (\delta'_2 - \delta'_1) > 0, z_1 = \frac{1}{2} (\delta'_2 + \delta'_1) < 0)$$

$$f' = \frac{-z_1}{1 + c\eta'} \quad (a)$$

$$f_0 = \frac{V_0}{c} \quad (b)$$

$$V_0 \geq \left(\frac{z_2}{\zeta'} + \frac{z_1 c}{1 + c\eta'} \right) \quad (d)$$

$$f = h_0 + f_0 = V_0 \left(\frac{1}{c} + \eta' \right) \quad (c) \quad h' = z_2 \frac{\eta'}{\zeta'} + z_1 \quad (e)$$

Aus (d) und (e) ergibt sich bei einer Vorspannung V_0 , dass die Enden der gestossenen Schienen immer tangential an der Feder anschliessen; dann ist die Grösse h' unabhängig von der Federkonstante c .

(Diese Arbeit wird demnächst in einer deutschen wissenschaftlichen Zeitschrift, in der «Eisenbahn - Technischen - Rundschau» oder in «Verkehr und Technik» oder in «Der Eisenbahningenieur» veröffentlicht werden).